

РЕЛАКСАЦИЯ ПРИ СЛОЖНОМ НАПРЯЖЕННОМ
СОСТОЯНИИ

B. C. Наместников

(Новосибирск)

1. Релаксация напряжений является одним из случаев ползучести при переменных нагрузках. В условиях сложного напряженного состояния релаксация мало изучена. По-видимому, первой экспериментальной работой, посвященной этому вопросу, была статья Марина и Гриффита [1]. В ней приводятся результаты трех опытов по релаксации, выполненных на алюминиевом сплаве 3S-0 на тонкостенных трубчатых образцах: при простом растяжении, при простом кручении, при совместном кручении и растяжении, в котором удерживались постоянными длина образца и отношение главных напряжений. Опыты имели целью проверку теории ползучести, выдвинутой авторами в этой статье.

Позднее вышла работа Джонсона, Гендерсона и Матхура [2], в которой приводятся результаты девяти опытов на релаксацию при совместном кручении и растяжении и трех — при простом кручении выполненных на тонкостенных трубчатых образцах из алюминиевого сплава RR-59 и магниевого сплава. В опытах удерживалась постоянной одна из деформаций и производился пропорциональный сброс осевого усилия и крутящего момента. Сравнение полученных данных с теорией старения типа течения показало их соответствие один другому в пределах $\pm 18\%$.

2. В работе [3] было показано, что при выполнении гипотезы пропорциональности девиаторов

$$\dot{p}_{ij} - \delta_{ij}\dot{p}_* = \Lambda (\sigma_{ij} - \delta_{ij}\sigma_*) \quad (1)$$

или

$$p_{ij} - \delta_{ij}p_* = \Lambda (\sigma_{ij} - \delta_{ij}\sigma_*) \quad (2)$$

девиатор релаксирующих напряжений пропорционален девиатору начальных напряжений

$$\sigma_{ij} - \delta_{ij}\sigma_* = \Lambda^\times (\sigma_{ij}^\circ - \delta_{ij}\sigma_*^\circ), \quad \Lambda^\times = \exp \left(-2G \int_0^t \Lambda dt \right) \quad (3)$$

Здесь σ_{ij} — компоненты напряжений, δ_{ij} — символы Кронекера (кружочек означает начальное состояние), p_{ij} — компоненты деформации ползучести (под деформацией ползучести понимается разность полной и начальной деформаций). ρ_* и δ_* — средняя деформация ползучести и среднее напряжение соответственно.

Этот вывод справедлив не только тогда, когда начальные деформации упругие, но и когда они пластические, так как при релаксации происходит разгрузка, а она всегда упругая. Предполагается также, что все полные деформации постоянны.

В случае релаксации напряжений закрученной и растянутой тонкостенной трубы при постоянных полных деформациях сдвига и удлинения из (3) в предположении упругой несжимаемости материала следует, что

$$\tau / \sigma = \tau^\circ / \sigma^\circ \quad (4)$$

где σ и τ — нормальное и касательное напряжение соответственно.

3. Выполнение соотношения (4) означает удовлетворение гипотезы пропорциональности девиаторов. Экспериментальная проверка этого соотношения проводилась на тонкостенных трубчатых образцах при совместном кручении и растяжении.

В качестве испытательной установки использовалась применявшаяся ранее в опытах на ползучесть машина [4], к которой было изготовлено два электронных приспособления, позволяющих удерживать постоянными сдвиг и удлинение. В одном из них, выполненному Н. С. Даниловым, в качестве датчиков деформации использовались индуктивные датчики, а в другом, выполненном Ю. Ф. Воробьевым, — пневмодатчики. Оба приспособления показали примерно одинаковые результаты. Большинство опытов проведено со вторым приспособлением.

Опыты производились на образцах из дуралюмина D16T и меди при 150° . Материал поставлен в виде прутка и термообработке не подвергался. Всего было проведено восемнадцать экспериментов. Продолжительность опытов колебалась от 1 до 56 час. Методика опытов, форма и размеры образца те же, что и в предыдущих экспериментах [4]. Прогрев образца до заданной температуры и ее стабилизация занимали сутки на дуралюминиевом образце и четыре часа на медном.

Программа экспериментов заключалась в следующем. К образцу прикладывались крутящий момент и осевая сила путем плавного пропорционального нагружения. При достижении заданной нагрузки включалось приспособление, автоматически поддерживающее постоянными удлинение и сдвиг. С момента конца загружения и до включения приспособления проходило не более 30—45 сек. Деформация удлинения удерживалась постоянной с точностью $\pm 5 - 10 \cdot 10^{-6}$, а сдвига $\pm 8 - 17 \cdot 10^{-6}$. В процессе опыта на релаксацию производилась непрерывная дегрузка, компенсирующая температурные изменения деформации.

В шести случаях по истечении некоторого времени релаксации производилось мгновенное увеличение нагрузки таким же способом, как и приложение основной нагрузки, и опыт продолжался еще некоторое время. При приложении нагрузки и ее увеличении на каждом образце выполнялось соотношение

$$\tau / \sigma = \lambda = \text{const} \quad (5)$$

Данные об экспериментах приведены в следующей таблице.

Таблица

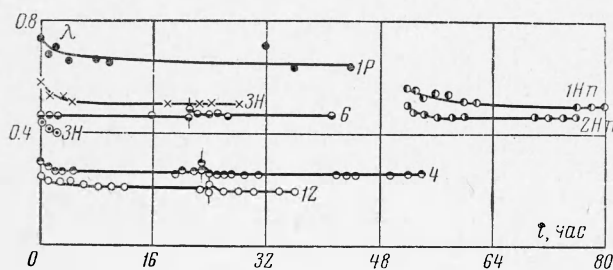
Материал	№ образца	Первая ступень						Вторая ступень					
		σ	τ	σ_i	λ	$\Delta\lambda/\lambda\%$	t час	σ	τ	σ_i	λ	$\Delta\lambda/\lambda\%$	t час
D16T	4	20.15	5.85	22.56	0.29	-14	23	23.00	6.41	25.53	0.28	-12.5	33
	6	19.90	8.98	25.26	0.452	+4	21	21.80	10.37	28.25	0.477	-5.0	20
	10	9.66	2.49	10.58	0.258	-25	19	—	—	—	—	—	—
	12	25.90	6.34	28.14	0.242	-16.7	24	30.16	6.47	32.17	0.214	-14	14
	14	6.23	10.05	48.73	1.45	-4.1	28	7.6	10.9	20.37	1.44	-3.5	23
	244	21.15	11.57	29.14	0.55	-9	24	—	—	—	—	—	—
	1Н	15.06	8.42	20.98	0.56	-10.7	4.5	—	—	—	—	—	—
	2Н	22.6	12.53	31.34	0.555	-4	8.5	—	—	—	—	—	—
	2Нп	27.56	13.65	36.31	0.496	-7	24	—	—	—	—	—	—
	1Нп	19.87	11.00	27.52	0.558	-40	32	—	—	—	—	—	—
Медь	3Н	23.26	13.50	32.99	0.58	-14	28	—	—	—	—	—	—
	16	6.56	6.90	13.8	1.05	-0.2	1	—	—	—	—	—	—
	18	10.10	7.28	16.2	0.72	-1.0	1	—	—	—	—	—	—
	20	10.40	8.00	17.3	0.77	-9.7	21	10.85	8.18	17.83	0.75	-5	28
	22	5.10	4.23	8.93	0.83	-45.7	23	7.50	5.80	12.54	0.77	-6.5	13
	1Р	7.77	582	12.73	0.74	-12	22	—	—	—	—	—	—
	2Р	4.48	2.63	6.39	0.587	-24	17	—	—	—	—	—	—
	3Р	9.00	3.93	11.28	0.437	-9.1	0.75	—	—	—	—	—	—

Здесь $\sigma_i = \sqrt{\sigma^2 + 3\tau^2}$ — интенсивность напряжений, t — длительность данной ступени нагрузки, размерность напряжений $\text{кг}/\text{мм}^2$.

4. Как выше отмечено, при выполнении гипотезы пропорциональности девиаторов должно выполняться соотношение

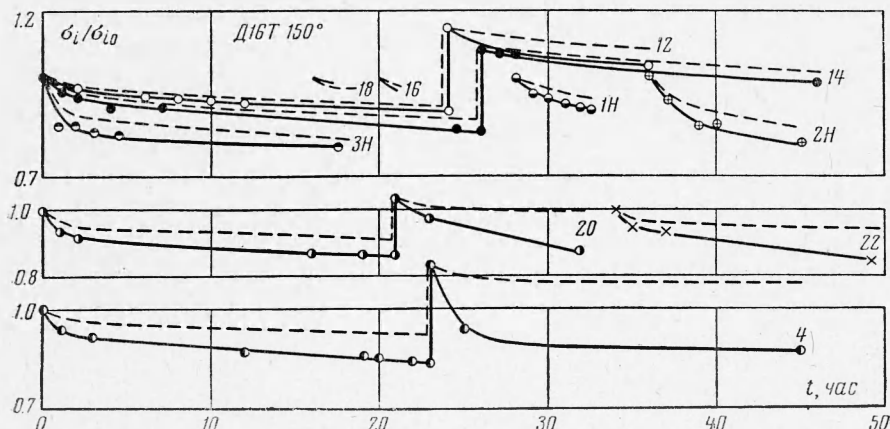
$$\lambda = \lambda^\circ = \text{const} \quad (6)$$

На фиг. 1 представлены типичные графики λ . Как видно, λ в первое время уменьшается и принимает по истечении некоторого времени постоянное значение. То же самое происходит и после увеличения нагрузки.



Фиг. 1

Значения максимальных отклонений λ от λ° представлены в вышеприведенной таблице, из которой видно, что лишь в четырех случаях из восемнадцати максимальные отклонения превышают 14%. Сравнивая полученные результаты с работой [5], можно сделать вывод, что гипотеза пропорциональности девиаторов при релаксации выполняется с той же точностью,



Фиг. 2

что и при ползучести при переменных нагрузках в условиях пропорционального нагружения. Из таблицы также следует, что после увеличения нагрузки отклонения λ от λ° уменьшаются.

5. Ранее было показано, что ползучесть дуралюмина при пропорциональном нагружении хорошо следует зависимости [6]

$$\dot{p}_i p_i^2 = \kappa \exp \left(\frac{\sigma_i}{A} + \frac{|\tau_{\max}|}{A_0} \right) \quad \left(p_i^2 = \frac{2}{3} p_{kl} p_{kl} \right) \quad (\text{по } i \text{ не суммируется}) \quad (7)$$

Здесь $\kappa = 1.893 \cdot 10^{-14} \text{ 1/час}$, $A = -1.45 \text{ кг}/\text{мм}^2$, $A_0 = 0.521 \text{ кг}/\text{мм}^2$, $a = 1.564$ при 150° .

Рассматривая релаксацию как частный случай ползучести при переменных нагрузках и используя зависимость (7), можно подсчитать теоретические кривые релаксации; они представлены на фиг. 2 штриховыми линиями при предположении упругой несжимаемости материала. На той же фигуре экспериментальные кривые представлены сплошными линиями. Числа на фиг. 2 соответствуют номерам образцов вышеупомянутой таблицы.

Как следует из фиг. 2, соответствие теории и эксперимента удовлетворительное за исключением образцов № 20 и 4 на участках после увеличения нагрузки. Нетрудно усмотреть также, что после увеличения нагрузки несколько ухудшается соответствие теории и эксперимента.

Поступила 7 VII 1962

ЛИТЕРАТУРА

1. Griffith J. E., Marin J. Creep Relaxation for Combined Stress. *J. of Mech. and Phys. of Solids*, 1956, vol. 4.
2. Johnson A. E., Henderson J. and Mathur V. D. Complex Stress Creep Relaxation of Metallic Alloy at Elevated Temperatures. *Aircraft Engng.*, 1959, vol. 31, No 361, 362.
3. Наместников В. С. Об одной гипотезе в теории трехосной ползучести. Изв. СО АН СССР, 1960, № 2.
4. Наместников В. С. О ползучести при постоянных нагрузках в условиях сложного напряженного состояния. Изв. АН СССР, ОТН, 1957, № 4.
5. Наместников В. С. О гипотезе пропорциональности девиаторов в условиях ползучести при переменных нагрузках и неизменных главных осях. ПМТФ, 1960, № 3.
6. Наместников В. С. О ползучести при сложном напряженном состоянии. Тр. Всесоюз. совещ. по ползучести, Новосибирск, 1962.